

시스템 모델링에 의한 DC/DC 컨버터 열화진단기법

O 김태진*, 백주원*, Dragos**, 임근희*, 김철우***

*한국전기연구원, **Univ. Politehnica of Bucharest ***부산대

A diagnosis method of DC/DC converter aging based on the variation of parasitic resistor

O T.J.Kim*, J.W.Baek*, Dragos**, G.H.Rim*, C.U.Kim***

*KERI, **Univ. Politehnica of Bucharest, ***Pusan Nat. Univ.

Abstract - In this paper, we propose a new diagnosis method of DC/DC converter aging. The method is based on the variations of parasitic resistor for the aging process. We apply an on-line diagnosis of DC/DC converter because the observation is not a device, but a system. This study proposes a method of DC/DC converter diagnosis by analyzing the variations of model on the variations of parasitic resistor

1. 전력변환장치 진단의 필요성

기존 전력변환장치의 진단 기술방법의 특징은 부품별, off-line, 현장실측 데이터중심, 온도 소음등의 2차정후 중심법이였다. 각 부품의 열화를 진단하는 방법으로는 가장 쉽게 개별 부품 각각에 대하여 전압 및 전류, 온도의 상태를 측정함으로써 부품의 열화를 진단할 수 있으나, 이는 각각의 부품마다 많은 센서를 필요로 하여 시스템을 복잡하게 하며 시스템의 가격을 상승시키는 요인이 된다. 개별 부품의 상태를 각각 진단하여 열화를 판단하는 것이 가장 바람직할 수 있으나, 전력 변환 장치는 많은 부품으로 구성되어 있고, 각각의 부품은 동작 조건에 따라 수명의 정도가 다르고, 측정 노이즈에 의한 시스템의 간섭으로 시스템의 오동작이 발생할 수 있으므로 적당한 방법이 될 수 없다. 또, on-line방법이 아닌 off-line 방법으로써 진단기능의 비효율성을 가질 수 있다. 그리고 현장실측 테이터 중심으로 단순히 전압과 전류의 절대적인 크기만 기준으로 삼고 있으며 2차적인 정후인 전력변환장치의 소음이나 온도에 의한 진단 기준의 판단근거로 삼고 있다.

최근 연구개발동향은 부품별 진단이 아닌 시스템적인 측면의 진단, on-line 방식의 진단, 그리고 계측된 물리량의 단순 크기만이 아니라, 신호처리기법등을 이용한 변화의 추이와 과정을 고찰하는 방식의 진단방법 등이 연구되어 오고 있다.^[1,2,3]

본 연구는 전력 변환 장치의 열화를 대표할 수 있는 대표지수를 선정하고 이를 이용하여 전력변환장치를 진단하는 방법을 연구하고자 한다. 이 방법은 전체 시스템을 하나의 지수를 통하여 진단할 수 있는 방법으로 전체적인 시스템의 열화 상태를 판단할 수 있는 진단 방법이 새로운 대안이 될 것 같다. 또 향후 on-line 방식으로 진단하기 위한 기술로 활용도 가능하다. 본 연구에서는 DC/DC 컨버터의 기생저항성분을 고려한 DC/DC 컨버터에서 열화에 대한 기생저항 성분의 변화분을 모델의 변화분으로 해석함으로써 DC/DC컨버터의 온라인 열화진단 기법으로 제안하고자 한다.

2. DC/DC 컨버터 진단 알고리즘 개발

2.1 DC/DC 컨버터의 열화진단 지수 선정

DC/DC 컨버터의 구성은 전력용 반도체 소자, 평활커패시터, 인덕터 등으로 구성된다. 이들 구성품들은 장기

간 사용에 따라 제품의 열화를 가져오고, 열화에 따라 각 부품을 구성하는 직병렬 등가 저항들은 증가한다. 이 증가하는 저항요소를 열화진단지수로 둔다. 그럼 1은 전력변환장치중 Buck 컨버터에서 각 구성품의 기생저항 성분회로를 포함한 등가회로이다.

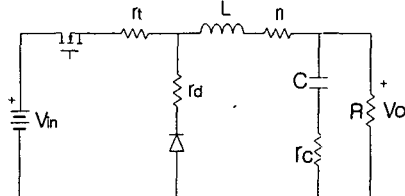


그림 1. 기생 저항을 고려한 Buck 컨버터

식(1)과같이 그림1의 전달함수 및 열화진단지수를 정의할 수 있다.

$$G(s) = \frac{V_o}{d} = V_i \cdot \frac{(1+sCr_c)(1+\xi_2)}{\frac{LCs^2}{1+\xi_1} + \frac{s}{1+\xi_1} \left(\frac{L}{R} + CR\xi_1 \right) + 1}$$

$$\xi_1 = \frac{r_i + r_c + r_t \cdot D + r_d(1-D)}{R}, \quad \xi_2 = \xi_1 - (Dr_t - Dr_d)/R$$

----- (1)

여기에서, 출력 전압 $V_o = DVin$ (인덕터 전류가 연속으로 흐른다고 가정 : CCM)이다. Vin : 입력 전압, D : 시비율, $D_l = 1 - D$, L : 인덕터, C : 커패시터, R : 부하저항, r_i : 인덕터 내부 저항, r_c : 커패시터 내부 저항, r_t : 스위치 내부 저항, r_d : 다이오드 내부 저항이다. 식(1)에서 ξ_1 , ξ_2 는 DC/DC 컨버터 내부 저항의 조합으로 구성됨을 알 수 있고, 열화에 의한 내부 저항의 변화는 ξ_1 , ξ_2 에 직접적인 영향을 미치는 것을 알 수 있다.

따라서, 모든 내부 저항 값을 일일이 체크하여 측정하는 것은 현실적으로 불가능하며, ξ_1 , ξ_2 값을 측정하여 값을 변화로써, 열화를 판단하는 방법을 적용하는 것이 바람직하다. 수학적 등가 모델과 실험으로 측정한 등가 모델의 전달 함수는 간략하게 정리하면 그림2와 같이 나타남을 확인하였다.

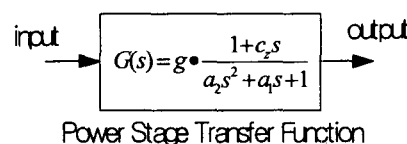


그림 2. DC/DC 컨버터 등가 모델 전달 함수

여기에서 g , a_2 , a_1 , c_2 는 수식 (1)에서 각각의 계수를 간단하게 나타낸 것으로써, 입력 전압 V_{in} , 시비율 D , 부하 저항 R , 인더터스 L , 커파시턴스 C , 내부 저항의 조합인 ξ_1 , ξ_2 로 구성되어 있다.

따라서, 아래 그림과 같이 수학적인 모델링에 의해 구해진 수식과 실험에 의하여 측정한 실제 값을 항등식이 성립하게 되고, 수식을 전개하여 풀이하면 원하는 열화 대표지수인 ξ_1 , ξ_2 의 값을 구할 수 있다.

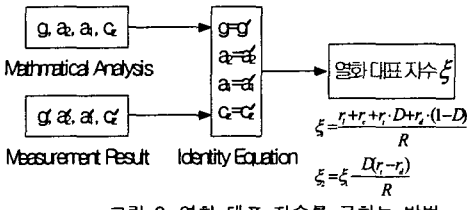


그림 3. 열화 대표 지수를 구하는 방법

2.2 대표 열화지수 측출방법

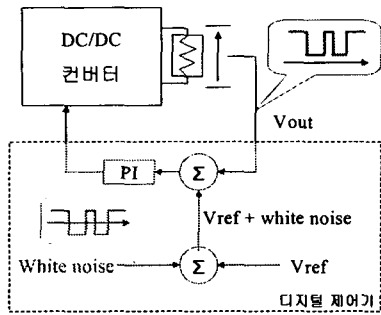


그림 4 열화지수의 측정방법

그림 4은 열화지수의 측정방법에 대한 개념도이다. 디지털 제어기의 입력 지령치에 white 노이즈성분을 제어기의 입력으로 추가한다. 이 출력은 전력변환장치의 출력전압 V_{out} 와 비교하여 그 값을 PI 제어기의 입력으로 둔다. PI 제어된 출력결과는 전력변환장치의 게이트 폭을 결정하는 값이 되고 결국 최종 출력전압 V_{out} 에 노이즈 성분이 반영되어 그 결과를 관찰할 수 있다. 이 때 입력성분에 추가된 white 노이즈 성분과 white 노이즈 성분에 의해 응답한 출력응답 성분을 비교하여 이를 축출해 내는 방법이다.^[3]

3. DC/DC 컨버터 전단 시스템 실험

DC/DC 컨버터는 다음과 같은 사양을 제작되었다.

표1 회로정수

입력전압 V_{in}	24[V]
출력 전압 V_o	5[V]
인더터 직렬저항 $r_i(20\text{kHz})$	1.2[mΩ]
콘덴서 직렬저항 $r_c(20\text{kHz})$	12.5[mΩ]
스위칭 소자 직렬저항 r_t	10.7[mΩ]
다이오드 직렬저항 r_d	6.1[mΩ]
콘덴서 C(삼화콘덴서, 105도)	470[μF]

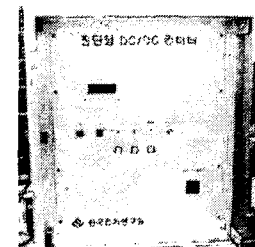


그림 5 제작된 컨버터의 주회로 및 시작품

그림 6은 입력지령치에 추가된 white 노이즈성분과 그 응답특성이이고, 그림 7은 응답특성으로 결정되어진 시스템 ID의 결과로 각 회로정수를 구한 뒤 다시 전달함수를 시뮬레이션한 결과로써 실험에 의해 해석된 결과와 시뮬레이션의 결과치가 거의 일치하여 진단 알고리즘을 증명하고 있다.

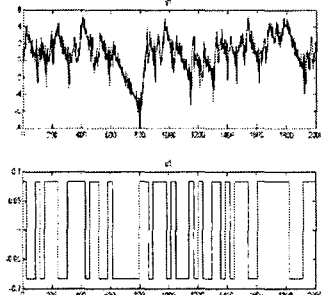


그림 6 입력지령치에 추가된 white 노이즈성분과 그 응답특성

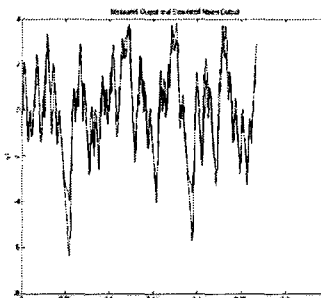


그림 7 실험에 의해 해석된 결과와 시뮬레이션의 결과
($\xi_1 = 0.12$)

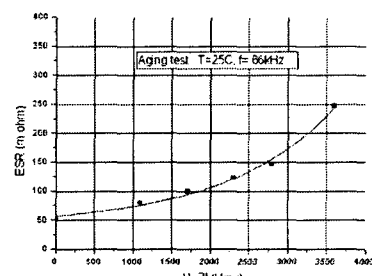


그림 8 열화가속에 의한 전해콘덴서 등가직렬저항 변화^[4]

그림 8은 열화가속에 의한 전해콘덴서의 등가직렬저항성이 변화를 나타낸 값이다.^[4] 25°C에서 스위칭 주파수

66kHz의 조건으로 운전하는 전해 콘덴서의 시간에 따른 ESR 변화량으로 최초시간 0시간에 비하여 4000시간 사용후 약500%정도의 변화가 있음을 알 수 있다. 표2는 2 가지 조건에 대한 실험 및 해석한 결과이다. 조건1은, 표1에 나와 있는 회로정수값으로 그림1의 Buck 컨버터를 실험한 결과로써 2.2절에 설명한 방법으로 회로정수 $a_2, a_1, g, \xi_1, \xi_2$ 를 각각 추출하였고, 그 때 이론치인 식(1)과 비교한 결과이다. 조건2는 조건1과 동일한 조건에서 출력콘덴서C에 직렬로 강제 저항208[mΩ]를 삽입한 결과의 실현치와 이론치의 비교이다. 이때 오차는 ξ_1 에 대한 실험 오차이다. 5~8%이하의 비교적 아직 큰 오차이지만, 모델링 혹은 계측상의 오차를 고려해 본다면, 상당히 진단기술에 근접한 결과로 판단되며, 또 이를 보안하기 위해서는 절대적인 값의 비교과 함께 변화추이를 함께 고찰해볼 필요가 있음이 예상된다.

표2 회로정수

	조건1		조건2 (조건1 +208[mΩ]삽입)	
	실험치	이론치	실험치	이론치
fitting율	60.8%	-	69.6%	-
a_2	9.44E-07	4.22E-07	8.72E-07	4.14E-07
a_1	6.20E-04	6.54E-04	6.87E-04	7.28E-04
g	17.5428	20.90761	17.5571	20.40273
ξ_1	0.120133	0.128954	0.13756	0.149991
ξ_2	0.26905	-0.12885	-0.26845	-0.14989
오차	6.84%	-	8.23%	-

그림 9, 그림 10, 그림 11는 부하변화에 대한 ξ_1, a_1, a_2 의 를 이론치와 실험치가 비교적 잘 일치하여 진단 알고리즘을 증명하였다.

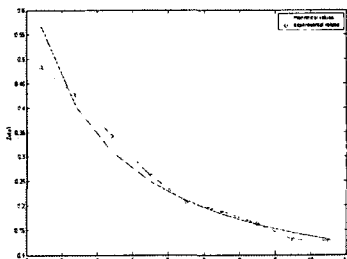


그림 9 부하변화에 대한 ξ_1 의 변화비교
(-○-실험치 & ---이론치)

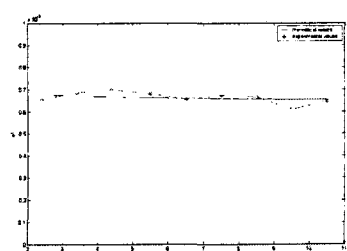


그림 10 부하변화에 대한 a_1 의 변화비교
(-○-실험치 & ---이론치)

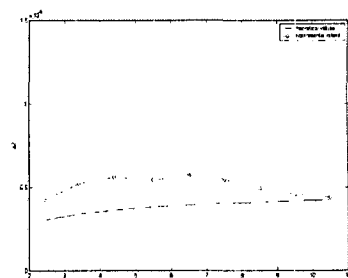


그림 11 부하변화에 대한 a_2 의 변화비교
(-○-실험치 & ---이론치)

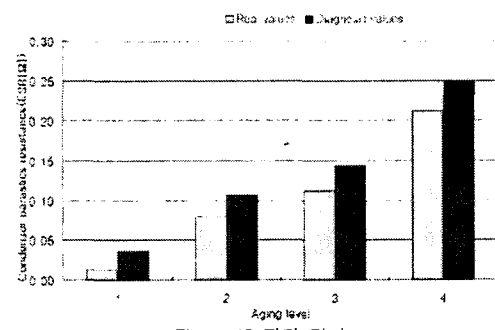


Figure 12 진단 결과

4. 결 론

이하와 같은 연구결과를 얻을 수 있었다.

- 1) 전력변환장치중 DC/DC 컨버터의 진단을 위하여 새로운 알고리즘을 제시하였다.
- 2) 개별 소자진단 방식이 아닌 시스템진단을 위하여 열화진단 지수를 설정하였다.
- 3) 그 열화진단지수로써 각 부분품의 기생성분의 함수인 ξ 를 선정하였다.
- 4) ξ 의 축출방법으로 전력변환장치의 시스템 ID를 이용하였다.
- 5) 이 방식은 On-line 진단기술에 접목이 가능하다.
- 6) DC/DC 컨버터의 시작품을 제작하여 실험을 통하여 해석한 결과와 시뮬레이션결과가 거의 일치하여 진단 알고리즘을 증명하였다.

향후, 부하변화 및 입력전압/출력전압 변화분에 대한 모델링의 오차 허용정도를 판단할 수 있는 기준을 마련하는 연구를 계속할 계획이다.

참 고 문 헌

- [1] A.J. Margues Cardoso, "Converter Fault Diagnosis in Variable Speed DC Drives, by Park's Vector", ISIE'97 Pp497-500.
- [2] A. Landi, L. Sani, "Modulating function testing the performance of switch mode converter", IEEE SDEMPED 01, Pp195-200.
- [3] CLERC Guy, etc. "Cegely's Diagnostic tools for electrical drives", IEEE SDEMPED 01, Pp85-89.
- [4] Amini Lahyani, etc, "Failure Prediction of Electrolytic Capacitors during Operation of a Switch mode Power Supply", IEEE Transaction on PE, Vol.13, No.6, Nov. 1998.